

## КОНТЕЙНЕРНЫЕ СРЕДСТВА КЛАСТЕРИЗАЦИИ И КЛАССИФИКАЦИИ СИГНАЛОВ

**Ключевые слова:** контейнерная кластеризация, пространство признаков, проекционная матрица.

### ВВЕДЕНИЕ

В работах [1, 2] предложены средства классификации ультразвуковых сигналов, базирующиеся на использовании свойств многомерных сфер в  $L_p$  пространствах, которые получили название контейнеров. В данной работе эти идеи построения контейнеров в пространстве признаков развиваются в направлении формирования контейнеров в виде многомерных эллипсоидов, определенных на основе взвешенных проекционных матриц. Известные свойства этих матриц позволили по-новому взглянуть на решение проблемы кластеризации и классификации сигналов в пространстве информационных признаков.

### 1. ВЗВЕШЕННЫЕ ПРОЕКЦИОННЫЕ МАТРИЦЫ И ИХ ВОЗМУЩЕНИЯ

Рассмотрим в  $m$ -мерном пространстве признаков для сигналов множество точек  $x(j) \in R^m$ ,  $j = \overline{1, n}$ . Тогда для матрицы имеем

$$\tilde{X} = (\tilde{x}(1) : \dots : \tilde{x}(n)), \quad \tilde{x}(j) = x(j) - \hat{x}, \quad \hat{x} = \frac{1}{n} \sum_{j=1}^n x(j). \quad (1)$$

Исследуем некоторые свойства следующей матрицы:

$$R(\tilde{X}^T) = \tilde{X}^{+T} \tilde{X}^+, \quad (2)$$

где  $\tilde{X}^+$  — псевдоинверсная матрица, соответствующая матрице  $\tilde{X}$ .

Использование сингулярного представления матрицы  $\tilde{X} = \sum_{j=1}^r u_j v_j^T \lambda_j$ ,

$r = \text{rank } \tilde{X}$ , где  $u_j v_j^T \lambda_j$  — собственные векторы и значения соответственно соотношений

$$\begin{aligned} \tilde{X} \tilde{X}^T u_j &= \lambda_j^2 u_j, \quad \tilde{X}^T \tilde{X} v_j = \lambda_j^2 v_j, \\ u_i^T u_j &= \delta_{ij}, \quad v_i^T v_j = \delta_{ij}, \quad i, j = \overline{1, r}, \quad \lambda_1^2 \geq \lambda_2^2 \geq \dots \geq \lambda_r^2, \end{aligned}$$

дает возможность установить важные геометрические свойства этих векторов и значений.

**Свойство 1.** Каждое собственное значение  $\lambda_j^2$  матрицы  $\tilde{X} \tilde{X}^T$  является суммой квадратов проекций векторов  $\tilde{x}(j)$  на орт  $u_j$ , т.е.

$$\lambda_j^2 = \sum_{i=1}^n (\tilde{x}^T(j) u(j))^2, \quad j = \overline{1, r}. \quad (3)$$

**Свойство 2.**  $R(\tilde{X}^T)$  — взвешенная проекционная матрица, в которой для произвольного вектора  $x \in R^m$  обеспечивает нахождение взвешенной проекции вектора  $x - \hat{x}$  на линейную оболочку, натянутую на векторы  $\tilde{x}(j)$ ,  $j = \overline{1, n}$ , т.е.

$$R(\tilde{X}^T) = \sum_{j=1}^r u_j u_j^T \lambda_j^{-2} = \sum_{j=1}^r u_j u_j^T \left( \sum_{i=1}^n \tilde{x}^T(i) u(j) \right)^{-2}, \quad (4)$$

$$(x - \hat{x})^T R(\tilde{X}^T) (x - \hat{x}) = \sum_{j=1}^r ((x - \hat{x})^T u_j)^2 \lambda_j^{-2}, \quad (5)$$

где  $\lambda_j^{-2}$  — соответствующие весовые коэффициенты, а  $\hat{x} = \frac{1}{n} \sum_{j=1}^n x(j)$ .

**Свойство 3.** Сумма квадратов взвешенных проекций векторов  $\tilde{x}(j)$  является рангом матрицы  $\tilde{X}$ , т.е. имеет место соотношение

$$\begin{aligned} \sum_{i=1}^n \tilde{x}^T(i) R(\tilde{X}^T) \tilde{x}(i) &= \sum_{i=1}^n \tilde{x}^T(i) \sum_{j=1}^r u_j u_j^T \tilde{x}(i) \left( \sum_{k=1}^n \tilde{x}^T(k) u_j \right)^{-2} = \\ &= \sum_{j=1}^r \left( \sum_{i=1}^n \tilde{x}^T(i) u_j \right)^2 \sum_{k=1}^n \tilde{x}^T(k) u_j^{-2} = r. \end{aligned} \quad (6)$$

**Свойство 4.** При расширении матрицы  $\tilde{X}$  новым вектор-столбцом  $x(n+1)$  без изменения  $\hat{x}$  имеют место рекуррентные соотношения:

1) при выполнении неравенства  $\tilde{x}^T(n+1) Z(\tilde{X}^T) \tilde{x}(n+1) > 0$ , т.е. для линейно независимого вектора  $\tilde{x}(n+1)$  от вектор-столбцов матрицы  $\tilde{X}$

$$\begin{aligned} R((\tilde{X} : \tilde{x}(n+1)))^T &= \\ &= R(\tilde{X}^T) - \frac{Z(\tilde{X}^T) \tilde{x}(n+1) \tilde{x}^T(n+1) R(\tilde{X}^T) + R(\tilde{X}^T) \tilde{x}(n+1) \tilde{x}^T(n+1) Z(\tilde{X}^T)}{\tilde{x}^T(n+1) Z(\tilde{X}^T) \tilde{x}(n+1)} + \\ &+ \frac{1 + \tilde{x}^T(n+1) R(\tilde{X}^T) \tilde{x}(n+1)}{\tilde{x}^T(n+1) Z(\tilde{X}^T) \tilde{x}(n+1)} Z(\tilde{X}^T) \tilde{x}(n+1) \tilde{x}^T(n+1) Z(\tilde{X}^T); \end{aligned} \quad (7)$$

2) для линейно-зависимого вектора  $\tilde{x}(n+1)$  от векторов  $\tilde{x}(1), \dots, \tilde{x}(n)$ , т.е.

$$\begin{aligned} \tilde{x}^T(n+1) Z(\tilde{X}^T) \tilde{x}(n+1) &= 0, \\ R((\tilde{X} : \tilde{x}(n+1)))^T &= R(\tilde{X}^T) - \frac{R(\tilde{X}^T) \tilde{x}(n+1) \tilde{x}^T(n+1) R(\tilde{X}^T)}{1 + \tilde{x}^T(n+1) R(\tilde{X}^T) \tilde{x}(n+1)}. \end{aligned} \quad (8)$$

**Свойство 5.** При изъятии из матрицы  $\tilde{X}$  вектор-столбца  $\tilde{x}(i)$  без изменений  $\hat{x}$  выполняются следующие рекуррентные соотношения:

1) при понижении ранга матрицы  $\tilde{X}$  после изъятия из нее столбца  $\tilde{x}(i)$ , т.е. при выполнении условия  $1 - \tilde{x}^T(i) \tilde{X}^{+T} e_i = z_{ii}(\tilde{X}) = 0$ ,  $e_i$  — единичный орт в  $R^n$ ,  $z_{ii}(\tilde{X})$  — диагональный элемент матрицы  $Z(\tilde{X}) = I_n - \tilde{Z}^+ \tilde{Z}$

$$\begin{aligned} R(\tilde{X}_{(i)}) &= \left( I_m - \frac{\tilde{X}^{+T} e_i e_i^T \tilde{X}^+}{\|\tilde{X}^{+T} e_i\|^2} \right) R(\tilde{X}^T) \left( I_m - \frac{\tilde{X}^{+T} e_i e_i^T \tilde{X}^+}{\|\tilde{X}^{+T} e_i\|^2} \right), \quad (9) \\ \tilde{X}_{(i)} &= (\tilde{x}(1) : \dots : \tilde{x}(i-1) : \tilde{x}(i+1) : \dots : \tilde{x}(n)); \end{aligned}$$

2) при сохранении ранга матрицы  $\tilde{X}$  после изъятия из нее столбца  $\tilde{x}(i)$ , т.е. при выполнении условия

$$1 - \tilde{x}^T(i) \tilde{X}^{+T} e_i = z_{ii}(\tilde{X}) > 0, \quad R(\tilde{X}_{(i)}) = R(\tilde{X}^T) + \frac{\tilde{X}^{+T} e_i e_i^T \tilde{X}^+}{\|\tilde{X}^{+T} e_i\|^2}. \quad (10)$$

**Свойство 6.** При изменении вектора  $\hat{x}$  на  $\hat{x} - \Delta\hat{x}$ , т.е. для матрицы  $\tilde{X} - \Delta\hat{x}J_n^T$  имеют место соотношения

$$R(\tilde{X}^T - J_n \Delta\hat{x}^T) = R(A_1) - \frac{1}{1 + b^T A_1^T a} (R(A_1^T) a b^T A_1^+ + A_1^{+T} b a^T R(A_1^T)) + \frac{a^T R(A_1^T) a}{(1 + b^T A_1^+ a)^2} A_1^{+T} b b^T A_1^+, \quad (11)$$

$$a = -\Delta\hat{x}, \quad b = \tilde{X}^+ \tilde{X} J_n, \quad J_n = \begin{pmatrix} 1 \\ \vdots \\ 1 \end{pmatrix} \in R^n,$$

$$R(A_1^T) = R(\tilde{X}^T) - \frac{R(\tilde{X}^T) a a^T R(\tilde{X}^T)}{\|k\|^2}, \quad A_1 = \tilde{X} - \Delta\hat{x} J_n^T Z(\tilde{X}),$$

$$\|k\|^2 = a^T R(\tilde{X}^T) a + \frac{1}{J_n^T Z(\tilde{X}) J_n}, \quad k = -\tilde{X}^+ \Delta\hat{x} - \frac{Z(\tilde{X}) J_n}{\|Z(\tilde{X}) J_n\|^2}.$$

Здесь предполагается выполнение условий общности положения

$$J_n^T \tilde{X}^+ \Delta\hat{x} + \Delta\hat{x}^T R(\tilde{X}^T) \Delta\hat{x} J_n^T Z(\tilde{X}) J_n \neq -1. \quad (12)$$

Справедливость свойств 1–6 вытекает из формул Гревилля и их обращения и теоремы об аналитическом представлении возмущений псевдоинверсных матриц [5].

## 2. ЭЛЛИпсоИДНЫЕ КОНТЕЙНЕРЫ В ПРОСТРАНСТВЕ ПРИЗНАКОВ

В работах [3, 4] рассмотрено средство классификации эхо-сигналов, основанное на формировании специальных множеств в пространстве признаков типа сфер  $l_p$  пространства. Эти множества получили название контейнеров. Здесь предлагается развитие идеи контейнерного описания соответствующих множеств в пространстве признаков для точек, принадлежащих к одному и тому же кластеру или классу. При этом форму контейнеров будем выбирать в виде эллипсоидов в многомерном пространстве. Для множества точек (1) рассмотрим эллипсоидальный цилиндр в  $R$ , содержащий эти точки:

$$(x - \hat{x})^T R(\tilde{X}^T) (x - \hat{x}) \leq d^2. \quad (13)$$

Здесь величину  $d^2$  можно определить как минимальное положительное число, при котором

$$x(j) \in \{x: (x - \hat{x})^T R(\tilde{X}^T) (x - \hat{x}) \leq d^2\},$$

т.е.

$$d^2 = \max_{j=1, n} \tilde{x}^T(j) R(\tilde{X}^T) \tilde{x}(j). \quad (14)$$

Согласно соотношению (6) эта величина удовлетворяет неравенству

$$\text{rank } \tilde{X} \geq d^2 \geq \frac{1}{n} \sum_{j=1}^n \tilde{x}^T(j) R(\tilde{X}^T) \tilde{x}(j) = \frac{r}{n}, \quad r = \text{rank } \tilde{X},$$

и будет меньше или равно единице в том случае, когда

$$\tilde{x}^T(j) R(\tilde{X}^T) \tilde{x}(j) = d^2, \quad j = \overline{1, n}.$$

Если  $r = m$ , то (13) является эллипсоидом в  $R^m$ . Для тех случаев, когда  $r < m$ , будем использовать эллипсоиды, сконструированные с помощью средства регуля-

ризации, в виде

$$(x-\hat{x})^T R(\tilde{X}^T) \frac{1}{d^2} + \frac{1}{d^2 \varepsilon^2} Z(\tilde{X})(x-\hat{x}) \leq 1, \quad (15)$$

где  $\varepsilon^2 \approx \lambda^2$ .

В силу определений матриц  $R(\tilde{X}^T)$  и  $Z(\tilde{X})$  являются справедливыми соотношениями

$$x(j) \in \{x: (x-\hat{x})^T \} K_\varepsilon(\tilde{X})(x-\hat{x}) \leq 1, j = \overline{1, n}, K_\varepsilon(\tilde{X}) = R(\tilde{X}^T) \frac{1}{d^2} + \frac{1}{d^2 \varepsilon^2} Z(\tilde{X}), \quad (16)$$

так как имеют место формулы для обратных матриц

$$R^{-1}(\tilde{X}^T) = \tilde{X}\tilde{X}^T \text{ при } r = m; \quad (17)$$

$$K_\varepsilon^{-1}(\tilde{X}) = d^2 \tilde{X}\tilde{X}^T + d^2 \varepsilon^2 Z(\tilde{X}) \text{ при } r < m, \quad (18)$$

в справедливости которых легко убедиться с помощью SVD-представления матриц. Несложно вычислить максимум линейных операций такого типа эллипсоидных множеств при  $r = m$ :

$$\max c^T (x-\hat{x}) = (d^2 c^T R^{-1}(\tilde{X}^T) c)^{\frac{1}{2}} = (d^2 c^T \tilde{X}\tilde{X}^T c)^{\frac{1}{2}}, \quad (19)$$

$$x \in \{x: (x-\hat{x})R(\tilde{X}^T)(x-\hat{x}) \leq d^2\},$$

при  $r < m$

$$\max c^T (x-\hat{x}) = (d^2 c^T \tilde{X}\tilde{X}^T + d^2 \varepsilon Z(\tilde{X}) c)^{\frac{1}{2}}, \quad (20)$$

$$x \in \{x: (x-\hat{x})K_\varepsilon(\tilde{X})(x-\hat{x}) \leq 1\}.$$

Для двух эллипсоидных контейнеров

$$\{x: d_1^{-2} (x-\hat{x}(1))R(\tilde{X}^T(1))(x-\hat{x}(1)) \leq 1, \text{ rank } \tilde{X}(1) = m, \quad (21)$$

$$\{x: d_2^{-2} (x-\hat{x}(2))R(\tilde{X}^T(2))(x-\hat{x}(2)) \leq 1, \text{ rank } \tilde{X}(2) = m, \quad (22)$$

сформированных соответственно точками  $x(i_1), \dots, x(i_{n1})$  и  $x(j_1), \dots, x(j_{n2})$ , условия существования разделяющей их линейной полосы сводится к условию существования такого вектора  $c \in R^m$ ,  $\|c\|=1$ , для которого имеет место неравенство

$$c^T (\hat{x}(2)-\hat{x}(1)) - d_1 (c^T \tilde{X}(1)\tilde{X}^T(1)c)^{\frac{1}{2}} - d_2 (c^T \tilde{X}(2)\tilde{X}^T(2)c)^{\frac{1}{2}} > 0, \quad (23)$$

а максимальная ширина разделяющей полосы для этих контейнеров достигается при  $c$  выбранного согласно условию оптимальности

$$c_{\text{opt}} = \max_{\|c\|=1} \{c^T (\hat{X}(2)-\hat{X}(1)) - d_1 (c^T \tilde{X}(1)\tilde{X}^T(1)c)^{\frac{1}{2}} - d_2 (c^T \tilde{X}(2)\tilde{X}^T(2)c)^{\frac{1}{2}}\}. \quad (24)$$

Аналогично представляются свойства делимости эллипсоидальных контейнеров и при более «обедненных» данных, для которых  $\text{rank } \tilde{X}(j)$ ,  $j = \overline{1, 2}$ , меньше  $m$ , с использованием матриц  $K_\varepsilon(\tilde{X}(j))$ ,  $j = \overline{1, 2}$ , т.е. условию (23) соответствует неравенство

$$c^T (\hat{X}(2)-\hat{X}(1)) - d_1 (c^T (\tilde{X}(1)\tilde{X}^T(1) + \varepsilon_1^2 Z(\tilde{X}(1))c)^{\frac{1}{2}} - d_2 (c^T (\tilde{X}(2)\tilde{X}^T(2) + \varepsilon_2^2 Z(\tilde{X}(2))c)^{\frac{1}{2}} > 0, \quad (25)$$

а условию оптимальности (24) — условие

$$c_{\text{opt}} = \arg \max_{\|c\|=1} \{c^T (\hat{X}(2)-\hat{X}(1)) - d_1 (c^T (\tilde{X}(1)\tilde{X}^T(1) + \varepsilon_1^2 Z(\tilde{X}(1))c)^{\frac{1}{2}} -$$

$$-d_2(c^T(\tilde{X}(2)\tilde{X}^T(2)+\varepsilon^2Z(\tilde{X}(2))c)^2)^{\frac{1}{2}}. \quad (26)$$

### 3. КОНТЕЙНЕРНАЯ КЛАСТЕРИЗАЦИЯ СИГНАЛОВ И ФОРМИРОВАНИЕ ДЕРЕВА КЛАСТЕРОВ

Пусть  $x(1), \dots, x(m)$  — точки (векторы  $x(j) \in R^m$ ) в пространстве признаков, соответствующие различным объектам или процессам, которые необходимо кластеризовать. Например,  $x(1)$  соответствует изображению буквы А,  $x(2)$  — Б,  $x(n)$  — Я. Необходимо по некоторому принципу подобия объединить часть этих векторов в одну совокупность (кластер), а оставшуюся — во второй кластер, затем последовательно осуществлять эти же разбиения для кластеров, организовав, таким образом, дихотомное дерево кластеризации исходных данных. Наиболее простое средство такой кластеризации представляет собой известный алгоритм  $K$ -средних [5, 6], использующий идею объединения точек по минимальному евклидовому расстоянию от точек до центров кластеров. Этот алгоритм имеет следующий вид:

- 1) определить первоначальные центроиды кластеров  $x(1), \dots, x(k)$ ;
- 2) найти ближайшие по евклидовому расстоянию точки к каждому центроиду;
- 3) пересчитать центроиды;
- 4) если все точки отнесены к кластерам и центроиды не изменились — на выход, иначе — на шаг 2.

Здесь предлагается развитие идеи  $K$ -средних с учетом вычисления расстояния по специальной мере, которую формируют сами точки или другие совокупности, возникающие в процессе выполнения алгоритма. Эта мера учитывает плотность и факторную структуру соответствующего подмножества точек, что далее положительно проявляется на качестве как кластеризации, так и распознавания сигналов. Итак, опишем подход формирования кластеров. Пусть изначально рассматриваемые точки  $x(j)$ ,  $j = \overline{1, n}$ , в пространстве признаков уже разбиты на два кластера (например, с помощью алгоритма 2-средних):  $D_1 = \{x: x(i_k), k = \overline{1, n_1}\}$  и  $D_2 = \{x: x(i_k), k = \overline{1, n_2}\}$ . Для этих подмножеств  $D_1$  и  $D_2$  определим соответственно матрицы  $\tilde{X}(1)$ ,  $\tilde{X}(2)$  согласно операциям, введенным в предыдущем разделе, т.е.

$$\begin{aligned} \tilde{X}(1) &= (\tilde{x}(i_1) : \dots : \tilde{x}(i_{n_1})), \quad \tilde{X}(2) = (\tilde{x}(j_1) : \dots : \tilde{x}(j_{n_2})), \\ \tilde{x}(i_k) &= x(i_k) - \hat{x}(1), \quad \tilde{x}(j_s) = x(j_s) - x(2), \quad k = \overline{1, n_1}, \quad s = \overline{1, n_2}, \\ \hat{x}(1) &= \frac{1}{n_1} \sum_{k=1}^{n_1} x(i_k), \quad \hat{x}(2) = \frac{1}{n_2} \sum_{s=1}^{n_2} x(j_s). \end{aligned}$$

Будем предполагать, что  $n_1$  и  $n_2$  имеют настолько большие значения, что векторы  $\tilde{x}(i_k)$ ,  $k = \overline{1, n_1}$ , и соответственно  $\tilde{x}(j_s)$ ,  $s = \overline{1, n_2}$ , обладают свойством

$$\text{rank } \tilde{X}(1) = m, \quad \text{rank } \tilde{X}(2) = m. \quad (27)$$

Тогда согласно свойствам взвешенных проекционных матриц [7] имеют место соотношения

$$\begin{aligned} x(i_k) &\in \left\{ x: \frac{1}{d_1^2} (x - \hat{x}(1))^T R(\tilde{X}^T(1))(x - \hat{x}(1)) \leq 1 \right\}, \quad k = \overline{1, n_1}, \\ x(j_s) &\in \left\{ x: \frac{1}{d_2^2} (x - \hat{x}(2))^T R(\tilde{X}^T(2))(x - \hat{x}(2)) \leq 1 \right\}, \quad s = \overline{1, n_2}. \end{aligned} \quad (28)$$

Геометрическая интерпретация для  $m=2$  этих соотношений приведена на рис 1. Здесь

$$d_1 = \max_{k=1, n_1} (x(i_k) - \hat{x}(1))^T \times$$

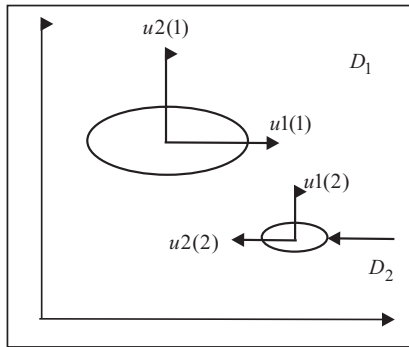


Рис. 1

$$\begin{aligned} & \times R(\tilde{X}^T(1))(x(i_k) - x(1)), \\ d_2 &= \max_{s=1, n_2} (x(j_s) - \hat{x}(2))^T \times \\ & \times R(\tilde{X}^T(2))(x(j_s) - x(2)), \\ R(\tilde{X}^T(1)) &= \tilde{X}^{+T}(1)\tilde{X}^+(1), \\ R(\tilde{X}^T(2)) &= \tilde{X}^{+T}(2)\tilde{X}^+(2). \end{aligned}$$

Тогда в качестве меры расстояния от некоторой точки  $x \in R^m$  до множества  $\Omega_j$ ,  $j=1, 2$ , будем рассматривать вместо евклидова расстояния величину

$$\rho(x, \Omega_j) = \frac{1}{d_j} ((x - \hat{x}(j))^T R(\tilde{X}^T(j))(x - \hat{x}(j)))^{\frac{1}{2}}. \quad (29)$$

Это позволяет реорганизовать принадлежность точек  $x(j)$ ,  $j=1, n$ , множествам  $D_1$  и  $D_2$ , т.е. если некоторая точка  $x(j)$  удовлетворяет условию

$$\rho(x(j), \Omega_1) \leq \rho(x(j), \Omega_2), \quad (30)$$

будем ее относить к множеству точек  $D_1$ , и если

$$\rho(x(j), \Omega_1) > \rho(x(j), \Omega_2), \quad (31)$$

то  $x(j)$  отсылаем в множество  $D_2$ . Таким образом, алгоритм формирования кластеров на основании использования множеств-контейнеров имеет следующее представление:

- 1) сформировать кластеры  $D_1$  и  $D_2$ ;
- 2) пересчитать центроиды согласно (29);
- 3) перейти на шаг 2, пока есть непересчитанные точки, иначе — на выход, если условия  $\rho(x(j), \Omega_1) \leq \rho(x(j), \Omega_2)$ ,  $\rho(x(j), \Omega_1) > \rho(x(j), \Omega_2)$  выполнены.

Матрицы  $R(\tilde{X}^T(1))$ ,  $R(\tilde{X}^T(2))$  приобретают рекуррентную форму трансформации согласно формулам (7)–(11) при перемещении некоторой точки  $x(j)$  из множества  $D_1$  в  $D_2$  или из  $D_2$  в  $D_1$  за счет изъятия или пополнения из матриц  $\tilde{X}(1)$ ,  $\tilde{X}(2)$  соответствующего вектора и изменения векторов  $\hat{x}(1)$  и  $\hat{x}(2)$ .

Если условия (27) не выполняются, что бывает весьма редко при решении корректных прикладных задач, то в этом случае вместо матрицы  $R(\tilde{X}^T(j))$ ,  $j=1, 2$ , следует использовать матрицу  $K_\epsilon(\tilde{X}^T(j))$ ,  $j=1, 2$ , определения которых приведено в предыдущем разделе статьи. Следует заметить, что формулы рекуррентного представления трансформации матриц  $Z(\tilde{X}^T(j))$ ,  $j=1, 2$ , тоже несложно получить на основании формул возмущения псевдообратных матриц.

#### 4. КОНТЕЙНЕРНАЯ КЛАССИФИКАЦИЯ СИГНАЛОВ И РЕКУРРЕНТНЫЕ АЛГОРИТМЫ ОБУЧЕНИЯ ПРАВИЛ КЛАССИФИКАЦИИ

Описанные выше свойства эллипсоидальных контейнеров позволяют сформировать удобные для использования правила классификации сигналов в системах распознавания образов. Рассмотрим описания таких правил на примере двух классов, не ограничивая общность подобных рассуждений для других классов. Пусть в пространстве  $R^m$  признаков задана обучающая последовательность  $x(j)$ ,  $j=1, n$ , где  $x(i_k)$ ,  $k=1, n_1$ , являющаяся представителями 1-го класса и  $x(j_s)$ ;  $s=1, n_2$ , — представителями 2-го класса. Образовав для 1- и 2-го классов эллипсоидальные контейнеры

$$V_1(x) = d_1^{-2} (x - x(1))^T R(\tilde{X}^T(1))(x - x(1)) \leq 1, \quad (32)$$

$$V_2(x) = d_2^{-2} (x - x(2))^T R(\tilde{X}^T(2))(x - x(2)) \leq 1, \quad (33)$$

необходимо провести анализ непересекаемости этих контейнеров. Это можно осуществить согласно условию (23) или в процессе проверки выполнения условий

$$x(i_k) \in \{x: V_2(x) \leq 1\}, \quad k = \overline{1, n_1}, \quad (34)$$

$$x(j_s) \in \{x: V_1(x) \leq 1\}, \quad s = \overline{1, n_2}. \quad (35)$$

Естественно, соотношения (34) и (35) выступают лишь необходимыми условиями непересекаемости эллипсоидальных контейнеров (32) и (33), однако если

$$V_1(x(j_s)) > \Delta, \quad s = \overline{1, n_2}, \quad (36)$$

$$V_2(x(i_k)) > \Delta, \quad k = \overline{1, n_1}, \quad (37)$$

где  $\Delta$  существенно больше единицы, то эти условия практически обеспечат непересекаемость контейнеров. Здесь для простоты изложения предполагается полнота данных в обучающей последовательности, т.е.  $\det R(\tilde{X}^T(j)) > 0$ ,  $j = 1, 2$ . В противном случае при определении функций  $V_1(x)$ ,  $V_2(x)$  вместо матриц  $R(\tilde{X}^T(j))$  необходимо применить регуляризованные матрицы  $K_\varepsilon(\tilde{X}(j))$ . Если эллипсоидальные контейнеры пересекаются, то можно воспользоваться средством последовательной фильтрации наиболее неразличимых объектов  $x(j)$  из первого и второго контейнеров, реорганизовав контейнеры с помощью рекуррентных соотношений, предложенных во втором разделе этой статьи. В свою очередь, для изъятых элементов предлагается осуществить свою систему двухконтейнерной классификации. Алгоритм можно представить последовательностью таких шагов:

- 1) сформировать контейнеры  $V_1$  и  $V_2$ ;
- 2) проверить непересекаемость контейнеров согласно (36), (37);
- 3) применить рекуррентные формулы и перейти на 2 с новыми значениями точек, если контейнеры пересекаются, иначе — на выход.

## ЗАКЛЮЧЕНИЕ

В данной работе описаны контейнерные средства кластеризации и классификации сигналов, которые могут использоваться для решения задач кластеризации и классификации массива текстовых печатных документов, ультразвуковых сигналов, графических образов и т.д. Выведены правила классификации сигналов в системах распознавания образов.

## СПИСОК ЛИТЕРАТУРЫ

1. Кириченко М.Ф., Куц Роман (США), Лепеха М.П. Множини приналежності в задачах класифікації сигналів // П'ята Всеукр. міжнар. конф. УкрОБРАЗ'2000. Ін-т кібернетики НАНУ. — Київ. — 2000. — С. 83–87.
2. Кириченко Н.Ф., Куц Роман (США), Лепеха Н.П. Распознавание трехмерных объектов по ультразвуковым эхо-сигналам // Проблемы управления и информатики. — 1999. — № 5. — С. 110–122.
3. Кириченко М.Ф., Куц Роман (США), Лепеха М.П. Алгоритми розпізнавання об'єктів ультразвуковими сонарами // Теорія обчислень: Зб. наук. праць. — Київ: Ін-т кібернетики НАНУ. — 1999. — С. 196–200.
4. Котов А., Красильников Н. Кластеризация данных. [Электрон. ресурс] — 2006. <http://logic.pdmi.ras.ru/~yura/internet/02ia-seminar.ppt>
5. Кириченко Н.Ф., Донченко В.С. Множества и расстояния соответствия в задачах кластеризации: гиперплоскости // Intern. Book Series "Inform. Sci. and Comput." — 2001. — С. 155–164.
6. Кириченко Н.Ф., Донченко В.С. Псевдообращения в задачах кластеризации // Кибернетика и системный анализ. — 2007. — № 4. — С. 73–92.
7. Кириченко Н.Ф., Лепеха Н.П. Применение псевдообратных и проекционных матриц в применении к исследованию задач управления, наблюдения и идентификации // Там же. — 2002. — № 4. — С. 107–124.

Поступила 11.03.2009